

спектра посредством модуляции анизотропии позволяет использовать такие материалы для получения заданных частотных характеристик МСВ устройств микроэлектроники.

### Список литературы

- [1] Grunberg P., Mika K. // Phys. Rev. B. 1983. Vol. 27. N 5. P. 2955–2965.
- [2] Mika K., Grunberg P. // Phys. Rev. B. 1985. Vol. 31. N 7. P. 4465–4471.
- [3] Грибкова Ю.В., Каганов М.И. // Письма в ЖЭТФ. 1988. Т. 47. Вып. 11. С. 588–591.
- [4] Гуревич А.Г. Магнитный резонанс в ферритах и антиферромагнетиках. М.: Наука, 1973. 591 с.
- [5] Ахиэзер А.И., Барьяхтар В.Г., Пелетминский С.В. Спиновые волны. М.: Наука, 1967. 367 с.
- [6] Петровский И.Г. Лекции по теории интегральных уравнений. М, 1984. 136 с.
- [7] Ландау Л.Д., Либшиц Е.М. Квантовая механика. Нерелятивистская теория. М.: Наука, 1974. 752 с.

Донецкий университет

Поступило в Редакцию  
31 января 1992 г.  
В окончательной редакции  
28 июля 1992 г.

04;12

Журнал технической физики, т. 63, в. 3, 1993

© 1993 г.

## ВЗАИМОДЕЙСТВИЕ КИНЕТИЧЕСКИХ ИОНИЗОВАННЫХ ВОЛН С ВНЕШНИМИ КОЛЕВАНИЯМИ В ПОЛОЖИТЕЛЬНОМ СТОЛБЕ ТЛЕЮЩЕГО РАЗРЯДА

Ю.Б. Голубовский, В.О. Некулаев, И.Э. Сулейменов

Проблеме взаимодействия ионизационных волн с внешними модулирующими колебаниями в положительном столбе газового разряда посвящено достаточно большое число работ, анализ которых можно найти в обзоре [1]. В последнее время интерес к этому вопросу не снижается, в частности, из-за проблемы возникновения детерминированного хаоса в распределенных автоколебательных системах, примером которой является стратифицированный тлеющий разряд [2–5]. Природа страт в разряде низкого давления вдали от границы Пуша (именно эти условия исследовались в вышеперечисленных работах) носит существенно нелокальный характер [6], что не принималось во внимание в цитированных работах.

Целью настоящей работы являются экспериментальное исследование взаимодействия кинетических ионизационных волн с внешними колебаниями и интерпретация полученных результатов на основе анализа нелокальной кинетики электронов. С этой же точки зрения анализируется механизм обратной связи в разряде.

Показано, что ионизационно-волновые колебания параметров плазмы в условиях нелокального механизма формирования функции распределения электронов по энергиям ( $\Phi$ РЭЭ) и конечной длины разрядного промежутка должны приводить к колебаниям напряжения на разрядной трубке в целом, которые в свою очередь влияют на характеристики страт.

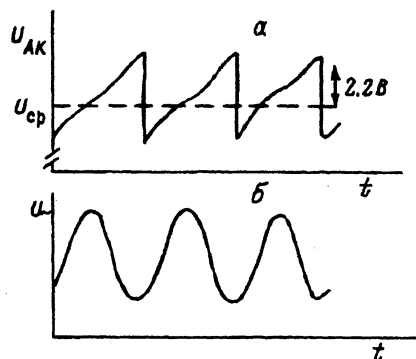


Рис. 1.

*a* — временной профиль колебаний напряжения  $U_{AK}$  на трубке в автономном режиме ( $m = 0$ ):  $i_{cp} = 30$  мА,  $U_{cp} = 300$  В; *б* — синусоидальная модуляция напряжения  $U_{AK}$  внешним сигналом.

Эксперименты проводились на разрядной трубке радиуса  $R = 1.4$  см, заполненной неоном, при приведенном давлении  $PR = 2.5$  тор · см. Конструкция анода позволяла изменять межэлектродное расстояние  $L$  в пределах от 32 до 38 см. Экспериментальная установка давала возможность получать осциллограммы временных колебаний напряжения на разряде, оптических и зондовых сигналов в различных точках по длине трубы, записывать их радиочастотные спектры, проводить автоматическое частотное сканирование в режиме внешней модуляции, которая осуществлялась с помощью модулятора, включенного в цепь последовательно с разрядной трубкой.

При наложении на стратифицированный разряд внешних модулирующих колебаний на частотах, кратных частоте страт при достаточной глубине модуляции могут происходить захват частоты страт и их визуализация [7,8]. Нелинейное влияние параметров модуляции на характеристики разряда проявляется, например, в том, что длина волны визуализованных, а следовательно, и бегущих страт  $\lambda$  существенным образом зависит от глубины  $m$  и частоты  $\nu_M$  модуляции. Эксперименты показали, что в наших условиях наблюдается, как правило, плавное уменьшение  $\lambda$  с ростом  $m$ , а также увеличение  $\lambda$  с ростом  $\nu_M$  (обратный закон дисперсии). Наряду с таким "прямым" влиянием внешней модуляции на характеристики ионизационных волн имеет место и "обратное" влияние страт на внешние условия, в частности на временной профиль напряжения анод-катод  $U_{AK}$ . Действительно, эксперименты, проведенные в данной работе, показали, что распространение страт в автономном режиме горения разряда ( $m = 0$ ) приводит к появлению колебаний напряжения  $U_{AK}(t)$ , осциллограммы которых приведены на рис. 1, *a*. Наличие таких колебаний соответствует автомодуляции разряда по напряжению. При изменении длины разрядного промежутка  $L$  временные профили колебаний напряжения, приведенные на рис. 1, *a*, изменяются незначительно.

Если осуществить неавтономный режим, т.е. промодулировать напряжение на трубке  $U_{AK}$ , а следовательно, и ток сигналом синусоидальной формы (рис. 1, *б*), то временной профиль колебаний напряжения анод-катод будет определяться вкладом как внешней модуляции (гармонические колебания), так и автомодуляции ионизационными волнами. Результирующее колебание  $U_{AK}$  представляет собой их суперпозицию. При этом, как показали эксперименты, результат воздействия внешней и автомодуляции существенным образом зависит от соотношения длины положительного столба  $L$  и длины волны страт  $\lambda$ , точнее от дробной части  $\{L/\lambda\}$ . В неавтономном режиме в условиях захвата частоты страт

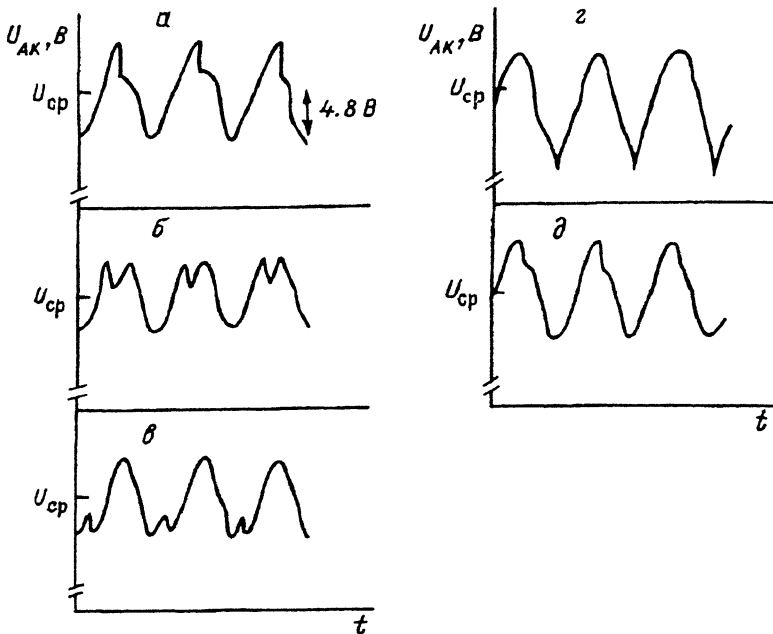


Рис. 2. Зависимость временного профиля колебаний  $U_{AK}$  в режиме модуляции от длины разряда  $L$ .

$U_{cp} = 300$  В,  $\lambda = 3.8$  см,  $\nu_M = 1.65$  кГц,  $i_{cp} = 30$  мА,  $m = 14\%$ ;  $L$ , см:  $a = 33.65$ ,  $b = 34.3$ ,  $c = 34.9$ ,  $d = 36.1$ ,  $e = 37.5$  см.

последним “навязывается” определенная длина волны в соответствии с законом дисперсии. Поэтому при плавном изменении  $L$  не происходит соответствующего пилообразного изменения  $\lambda$ , наблюдаемого в автономном режиме [1,3]. В режиме визуализации это проявляется как рождение новых страт в прилегающей к аноду области. Соответствующие осциллограммы колебаний напряжения  $U_{AK}$  при фиксированных значениях  $t$  и  $\nu_M$  и различных длинах разряда  $L$  приведены на рис. 2. Видно, что профиль колебаний  $U_{AK}(t)$  действительно определяется вкладом внешней синусоидальной модуляции и автомодуляции, причем характерный узкий провал, вносимый стратами, последовательно перемещается по профилю напряжения при изменении  $L$ . Когда длина столба изменяется на одну длину волны (в данном случае  $\lambda = 3.8$  см) профиль  $U_{AK}(t)$  восстанавливается (рис. 2,  $a, d$ ), что соответствует восстановлению дробной части  $\{l/\lambda\}$ .

С другой стороны, плавное изменение параметра  $L/\lambda$  можно достичь, зафиксировав длину столба и изменяя частоту модуляции  $\nu_M$ , а следовательно,  $\lambda$  в соответствии с законом дисперсии. Этому случаю соответствует рис. 3, на котором приведены осциллограммы напряжения  $U_{AK}(t)$  для разных частот модуляции при фиксированных прочих условиях. Причем так же, как и на рис. 2, при изменении  $[L/\lambda]$  на единицу имеет место возврат профиля колебаний напряжения к исходному значению (рис. 3,  $a$  и  $d$ ).

Это подтверждается простейшим расчетом. При изменении частоты  $\nu_M$  от 1.65 до 1.825 кГц профиль  $U_{AK}(t)$  повторяется. С другой стороны, согласно измеренным дисперсионным характеристикам увеличение

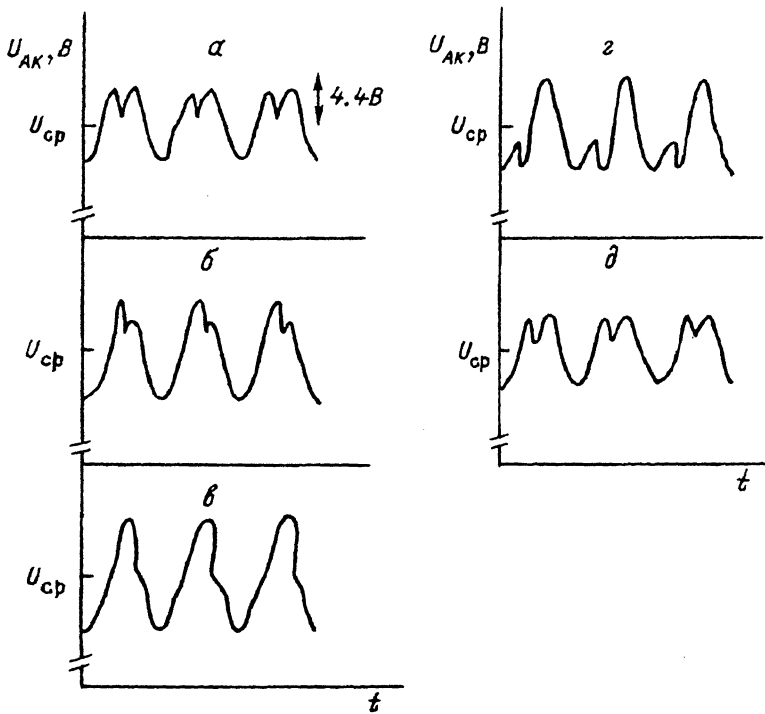


Рис. 3. Зависимость временного профиля колебаний  $U_{AK}$  в режиме модуляции от частоты модуляции.

$U_{cp} = 300 \text{ В}$ ,  $L = 36 \text{ см}$ ,  $i_{cp} = 30 \text{ мА}$ ,  $m = 14\%$ ;  $\nu_M$ , Гц:  $\alpha = 1650$ ,  $\beta = 1675$ ,  $\gamma = 1700$ ,  $\delta = 1800$ .

частоты на 200 Гц соответствует при данной глубине модуляции увеличению длины волны на  $\Delta\lambda \approx 0.6 \text{ см}$ . В соответствии с предложенной моделью автомодуляции должно выполняться следующее равенство:

$$n \cdot \lambda = (n - 1) \cdot (\lambda + \Delta\lambda).$$

Подставляя в это равенство экспериментально измеренное значение  $\lambda \approx 4.5 \text{ см}$ , получаем  $n = 8$ , что полностью сходится с экспериментом. Таким образом, рис. 2 и 3 показывают, что имеет место качественная корреляция между изменениями временных профилей напряжения анод-катод при вариациях обоих параметров: длины разрядного промежутка и длины волны, задаваемой внешней модуляцией. Это обстоятельство позволяет связывать изменения вида профиля напряжения с изменениями именно дробной части параметра  $L/\lambda$ . Изменение профиля напряжения на трубке (точнее, в рассмотрении будет фигурировать промежуток при катодный конец положительного столба-анод) приводит к тому, что в разные моменты времени среднее электрическое поле  $\langle E(t) \rangle_x$  в разряде становится различным. Возникает своего рода обратная связь, стимулируемая наложением внешнего возмущения: изменение длины волны вызывает изменение временного профиля напряжения на трубке, а эти изменения в свою очередь влияют на характеристики страт в разряде. Эксперименты показывают, что при взаимодействии бегущих страт с внешними синусоидальными колебаниями могут возникать разнообразные режимы результирующих колебаний в зависимости от глубины модуляции.

тока  $t$  и частоты модуляции  $\nu_M$ . При очень малых  $t$  взаимодействия нет, напротив при достаточно больших  $t$  наблюдается захват частоты страт в областях вблизи частоты модуляции, кратных частоте собственных страт. При достаточно больших амплитудах модуляции вклад страт, вносимый в профиль колебаний напряжения на разряде, становится пренебрежимо мал по сравнению со вкладом от внешнего источника возмущений на любых частотах. Если же эти вклады имеют сравнимые значения, то могут наблюдаться в зависимости от частоты модуляции  $\nu_M$  (точнее от соотношения  $\nu_M/\nu_C$ ) многопериодические, квазипериодические и стохастические режимы распространения страт. Такие режимы для неавтономного разряда исследовались в работах [2–5], в которых, однако, результаты измерений не сопоставлялись с исследованиями профилей напряжений на разряде. Соответствующая диаграмма различных режимов взаимодействия страт с внешними колебаниями приведена в [9].

Рассмотрим влияние нелокальной кинетики электронов на формирование профиля напряжения в промежутке прикатодный конец положительного столба-анод. В работе [10] проведен качественный анализ формирования ФРЭ и профиля электрического поля в положительном столбе при условии неупругого баланса энергий в приближении “черной стеки”, поставленной на первом потенциале возбуждения  $\varepsilon_1$ . Кинетическое уравнение для ФР приводится к виду

$$\frac{\partial^2}{\partial x^2} f_0(x, \varepsilon) = 0, \quad (1)$$

где  $x$  — продольная координата, отсчитываемая от прикатодного конца положительного столба;  $\varepsilon = w + e\varphi(x)$  — полная энергия электрона,  $w$  — кинетическая энергия.

Уравнение (1) получено для случая  $v^3/\nu = \text{const}$ , где  $v$  — скорость электрона,  $\nu$  — частота упругих столкновений. Оно дополняется тремя граничными условиями [10]: условие “черной стеки” на потенциале  $\varepsilon_1$ , условие непрерывности тока, а также условие равенства нулю ФРЭ на аноде. Характер ФР во всем положительном столбе будет определяться заданием четвертого граничного условия — значения ФР  $f_{00}$  при  $x = 0$ , т.е. в начале положительного столба с катодной стороны. Например, если положить  $f_{00}$ , равной ФРЭ, характерной для однородного положительного столба, то и решение уравнения (1) во всей осталльной части будет равно именно этой ФР. Отступления от такой ФРЭ начнутся на расстояниях от анода, меньших  $\lambda^* = \varepsilon_1/eE$ , где начинает проявляться сток электронов на анод [11]. Если же “начальная” функция распределения каким-либо образом деформирована, то в осталльной части столба ФРЭ также деформируется. В работе [10] характер деформации ФР установлен чисто графически для случая, когда  $f_{00}$  отличается от ФР однородного столба полным отсутствием электронов в произвольном узком интервале энергий. Эта ситуация подробно показана на рис. 4 работы [10]. Имеет место периодический характер деформации ФР по оси  $x$  с периодом  $\lambda^*$  до тех пор пока ФР не начнет “чувствовать” сток электронов на анод. Как и для невозмущенной ФРЭ, этот процесс начинается на расстоянии  $\lambda^*$  от анода. В работе [10] показано, что распределение концентрации  $n(x)$  и поля  $E(x)$  будет носить в такой модели пилообразный характер с периодом  $\lambda^*$  вплоть до точки  $L_1 - \lambda^*$ , где  $L_1$  — длина промежутка прикатодный конец положительного столба-анод.

Рассмотрим две ситуации. Первая, когда на интервал  $[0, L, -\lambda^*]$  укладывается целое число длин волн  $\lambda$ . В этом случае падение напряжения на этом интервале не будет зависеть от того, на какую координату по энергии приходится обедняющее возмущение  $f_{00}$ . Энергетическая координата возмущения по существу есть то же самое, что и фаза страты. Другими словами, падение напряжения на этом интервале не зависит от фазы страты и можно сказать, что пилообразное колебание напряженности поля  $E(x)$  компенсируется периодичностью. Этого не имеет места для интервала  $[L_1 - \lambda^*, L_1]$ , так как наличие анода создает асимметрию ФР. Падение напряжения на этом интервале самым существенным образом зависит от энергетической координаты возмущения, а следовательно, и от фазы страты. Можно сделать вывод, что колебания напряжения на интервале  $[L_1 - \lambda^*, L_1]$  есть минимально возможные колебания напряжения на разряде, если в последнем распространяются страты.

Во второй ситуации, когда на интервале  $[0, L_1 - \lambda^*]$  не укладывается целое число страт, возникает дополнительное изменение падения напряжения, существенным образом зависящее от энергетической координаты возмущения, а следовательно, и от фазы страты. Таким образом, можно сделать вывод, что в условиях нелокального формирования ФР конечная длина интервала начало положительного столба-анод определяет наличие в разряде обратной связи: изменение длины волны и фазы страты приводит к изменениям напряжения на разряде, которое в свою очередь влияет на страты. Перенести сделанный вывод со стационарного случая на нестационарный допустимо, поскольку характер периодичности и колебаний напряжения следует только из уравнения (1), а оно справедливо и для нестационарного случая, поскольку частота страт гораздо меньше частоты  $(m/M)\nu$  (ФРЭЭ формируется квазистационарно).

Сделанный вывод показывает, что при дальнейшем экспериментальном исследовании ионизационных волн в разряде нельзя ограничиваться исследованием только их оптических или зондовых характеристик, результаты таких экспериментов должны быть сопоставлены с исследованиями профилей напряжений на разряде.

### Список литературы

- [1] Ланда П.С., Мискинова Н.А., Пономарев Ю.В. // УФН. 1980. Т. 132. № 4. С. 601–637.
- [2] Анищенко В.С., Мелехин Г.В., Степанов В.А. и др. // Изв. вузов. Сер. Радиофизика. 1986. Т. 29. № 8. С. 903–912.
- [3] Мелехин Г.В., Морозов Д.А., Степанов В.А. и др. // ЖТФ. 1987. Т. 57. Вып. 1. С. 37–42.
- [4] Wilke C., Leeven R.W., Deutsch H. // Phys. Lett. A. 1989. Vol. 136. N 3. P. 114–120.
- [5] Анищенко В.С. Сложные колебания в простых системах. М.: Наука, 1990. 312 с.
- [6] Цендин Л.Д. // ЖТФ. 1982. Т. 52. Вып. 4. С. 635–649.
- [7] Зайцев А.А., Леонов Г.С. // РИЭ. 1965. Т. 10. с. 913.
- [8] Golubovsky Yu.B., Kolobov V.I., Necutchaev V.O., Suleimenov I.E. // 19 Intern. Conf. Phen. Ion. Gases. Contrib. Pap. Belgrad, 1989. Pt 4. P. 840–841.
- [9] Голубовский Ю.Б., Некучаев В.О., Сулейманов И.Э. // Тез. докл. VIII Всесоюз. конф. Физика низкотемпературной плазмы. Минск, 1991. Ч. II. С. 51, 52.
- [10] Бичукская Е.Н., Голубовский Ю.Б., Некучаев В.О. и др. // ЖТФ. 1993. Т. 63. Вып. 1. С. 000.
- [11] Голубовский Ю.Б., аль-Хават Ш.Х. // ЖТФ. 1987. Т. 56. Вып. 1. С. 44–49.

С.-Петербургский университет

Поступило в Редакцию  
29 апреля 1992 г.